

СИБИРСКИЕ ЭЛЕКТРОННЫЕ
МАТЕМАТИЧЕСКИЕ ИЗВЕСТИЯ

Siberian Electronic Mathematical Reports

<http://semr.math.nsc.ru>

Том 15, стр. 1301–1310 (2018)

УДК 517.929

DOI 10.17377/semi.2018.15.106

MSC 34K06,34K20

О ЛОКАЛЬНОЙ АСИМПТОТИЧЕСКОЙ УСТОЙЧИВОСТИ
ОДНОЙ МОДЕЛИ ЭПИДЕМИЧЕСКОГО ПРОЦЕССА

В.В. МАЛЫГИНА, М.В. МУЛЮКОВ, Н.В. ПЕРЦЕВ

ABSTRACT. We consider a model of the epidemic process, and use a system of differential equations with retarded argument for the description of the model. We obtain a number of stability tests for the nontrivial equilibrium point and construct stability regions in the parameter space of the original problem.

Keywords: epidemic process, mathematical model, delay differential equation, stability, stability region.

1. ВВЕДЕНИЕ

Дифференциальные уравнения с запаздыванием широко используются в так называемых стадия-зависимых моделях популяционной динамики. Наличие нескольких стадий учитывает возрастной состав популяций, отдельные этапы развития индивидуумов и переходы индивидуумов между группами, отражающими структуру популяций. Стадия-зависимые модели в форме дифференциальных уравнений с запаздыванием отражены в многочисленных публикациях, посвященных изучению эпидемических процессов. Современный подход к разработке и исследованию указанных моделей представлен, например, в работах [1, 2, 3, 4, 5, 6, 7, 8]. Другие примеры можно найти в библиографических ссылках указанных публикаций.

MALYGINA, V.V., MULYUKOV, M.V., PERTSEV, N.V., ON LOCAL ASYMPTOTIC STABILITY OF A MODEL OF EPIDEMIC PROCESS.

© 2018 Малыгина В.В., Мулюков М.В., Перцев Н.В.

Работа первых двух авторов выполнена в рамках госзадания Минобрнауки РФ, проект № 1.5336.2017/8.9, и поддержана грантом РФФИ, проект № 18-01-928; работа третьего выполнена при поддержке программы фундаментальных научных исследований СО РАН № I.1.1., проект № 0314-2016-0009.

Поступила 23 августа 2018 г., опубликована 30 октября 2018 г.

Важной особенностью моделей эпидемических процессов является наличие запаздывающих переменных, отражающих предысторию развития или распространения инфекционного заболевания. Присутствие в модели двух, трех и более запаздываний в сочетании с нелинейностью уравнений приводит к значительным сложностям к исследованию проблемы существования положений равновесия с неотрицательными компонентами и их асимптотической устойчивости (не устойчивости). Так, в частности, в работе [9] предложена модель эпидемического процесса в форме системы трёх нелинейных автономных дифференциальных уравнений с двумя сосредоточенными запаздываниями. Предполагается, что все индивидуумы моделируемой популяции разделены на три непересекающиеся группы: восприимчивые индивидуумы S , заболевшие индивидуумы I и переболевшие индивидуумы R . Обозначим через x, y, v численность каждой из этих групп. Имеют место следующие предположения [9]:

- общая численность группы S, I, R увеличивается за счёт притока индивидуумов в группу S с постоянной скоростью $f > 0$;
- численность группы S уменьшается с интенсивностью $\alpha > 0$ за счет миграции и естественной смертности;
- скорость появления больных индивидуумов пропорциональна числу контактов между индивидуумами групп S и I и задается как βxy , где $\beta > 0$;
- каждый индивидуум, попавший в группу I , болеет в течение временного интервала длиной $\tau > 0$;
- численность группы I уменьшается с интенсивностью $\gamma > 0$ за счет миграции, естественной смертности и, возможно, гибели индивидуумов от болезни;
- выздоровевшие и не покинувшие группу I индивидуумы пополняют группу R ;
- каждый индивидуум, попавший в группу R , приобретает иммунитет либо прекращает контакты с индивидуумами группы I в течение временного интервала длиной $\omega > 0$;
- численность группы R уменьшается с интенсивностью $\sigma > 0$ за счет миграции и естественной смертности;
- не покинувшие группу R индивидуумы пополняют группу S .

При этих условиях уравнения модели принимают вид:

$$(1) \quad \begin{cases} \dot{x}(t) = f - \alpha x(t) - \beta x(t)y(t) + p_2 \beta x(t - \tau - \omega)y(t - \tau - \omega), \\ \dot{y}(t) = \beta x(t)y(t) - \gamma y(t) - p_1 \beta x(t - \tau)y(t - \tau), \\ \dot{v}(t) = p_1 \beta x(t - \tau)y(t - \tau) - \sigma v(t) - p_2 \beta x(t - \tau - \omega)y(t - \tau - \omega), \end{cases}$$

где $t \geq 0$, $p_1 = e^{-\gamma\tau}$, $p_2 = e^{-\gamma\tau - \sigma\omega}$. Следуя [9], полагаем, что решение системы (1) доопределено на отрезке $[-\tau - \omega, 0]$ непрерывной неотрицательной вектор-функцией, являющейся решением вспомогательной задачи Коши для системы дифференциальных уравнений специального вида. При этих условиях решение системы (1) в пространстве локально абсолютно непрерывных функций существует [10, с. 9-10], [11, с. 23] и неотрицательно [9].

Нетрудно заметить, что система (1) имеет два положения равновесия: тривиальное (x_1^*, y_1^*, v_1^*) , где $x_1^* = f/\alpha > 0$, $y_1^* = 0$, $v_1^* = 0$ и нетривиальное (x_2^*, y_2^*, v_2^*)

с компонентами

$$x_2^* = \frac{\gamma}{\beta(1-p_1)} > 0, \quad y_2^* = \frac{\alpha(x_1^* - x_2^*)}{\beta(1-p_2)x_2^*}, \quad v_2^* = \frac{(p_1 - p_2)\beta x_2^* y_2^*}{\sigma}.$$

Установлено [9]: 1) если $x_1^* < x_2^*$, то система (1) не имеет других неотрицательных положений равновесия, кроме тривиального, а тривиальное положение равновесия асимптотически устойчиво; 2) если $x_1^* > x_2^*$, то тривиальное положение равновесия не устойчиво и все компоненты (x_2^*, y_2^*, v_2^*) положительны. Исследование устойчивости тривиального положения равновесия было сведено к анализу устойчивости уравнения

$$\dot{u}(t) + \tau(\gamma - \beta x_1^*)u(t) + \tau p_1 \beta x_1^* u(t-1) = 0,$$

что является следствием структуры уравнений исходной нелинейной модели. Приведенное выше утверждение вытекает из известного критерия устойчивости уравнения

$$\dot{u}(t) + au(t) + bu(t-1) = 0,$$

содержащего параметры a, b произвольного знака [12].

Целью настоящей статьи является получение условий асимптотической устойчивости (неустойчивости) положения равновесия (x_2^*, y_2^*, v_2^*) .

2. УРАВНЕНИЯ ЛИНЕЙНОГО ПРИБЛИЖЕНИЯ В ОКРЕСТНОСТИ НЕТРИВИАЛЬНОГО ПОЛОЖЕНИЯ РАВНОВЕСИЯ

Пусть (x_2^*, y_2^*, v_2^*) — нетривиальное положение равновесия системы (1) с положительными компонентами (случай $x_1^* > x_2^*$). Линеаризуем систему (1) вблизи положения равновесия (x_2^*, y_2^*, v_2^*) :

$$(2) \quad \begin{cases} \dot{x}(t) + \alpha x(t) + \beta x_2^* y(t) + \beta y_2^* x(t) - p_2 \beta x_2^* y(t - \tau - \omega) - \\ \quad - p_2 \beta y_2^* x(t - \tau - \omega) = 0, \\ \dot{y}(t) + \gamma y(t) - \beta x_2^* y(t) - \beta y_2^* x(t) + p_1 \beta x_2^* y(t - \tau) + p_1 \beta y_2^* x(t - \tau) = 0, \\ \dot{v}(t) + \sigma v(t) - p_1 \beta x_2^* y(t - \tau) - p_1 \beta y_2^* x(t - \tau) + p_2 \beta x_2^* y(t - \tau - \omega) + \\ \quad + p_2 \beta y_2^* x(t - \tau - \omega) = 0. \end{cases}$$

Обозначим $w(t) = x_2^* y(t) + y_2^* x(t)$ и перепишем систему (2) в виде

$$\begin{cases} \dot{x}(t) + \alpha x(t) + \beta w(t) - p_2 \beta w(t - \tau - \omega) = 0, \\ \dot{y}(t) + \gamma y(t) - \beta w(t) + p_1 \beta w(t - \tau) = 0, \\ \dot{v}(t) + \sigma v(t) - p_1 \beta w(t - \tau) + p_2 \beta w(t - \tau - \omega) = 0. \end{cases}$$

Последнюю систему можно переписать в эквивалентной форме

$$\begin{cases} x(t) = x(0)e^{-\alpha t} + \beta e^{-\alpha t} \int_0^t e^{\alpha s} (p_2 w(s - \tau - \omega) - w(s)) ds, \\ y(t) = y(0)e^{-\gamma t} + \beta e^{-\gamma t} \int_0^t e^{\gamma s} (w(s) - p_1 w(s - \tau)) ds, \\ v(t) = v(0)e^{-\sigma t} + \beta e^{-\sigma t} \int_0^t e^{\sigma s} (p_1 w(s - \tau) - p_2 w(s - \tau - \omega)) ds. \end{cases}$$

Легко видеть, что система (2) экспоненциально устойчива в том и только том случае, если $\overline{\lim}_{t \rightarrow +\infty} \ln|w(t)|/t < 0$.

Пусть выполнено следующее

Предположение 1. *Интенсивности уменьшения групп S и I равны между собой: $\alpha = \gamma$.*

Сложим первые два уравнения системы (2), предварительно домножив первое из них на y_2^* , второе — на x_2^* . С учетом равенства $\alpha = \gamma$ получим уравнение

$$(3) \quad \dot{w}(t) + (\alpha + \beta y_2^* - \beta x_2^*)w(t) + p_1 \beta x_2^* w(t - \tau) - p_2 \beta y_2^* w(t - \tau - \omega) = 0.$$

Таким образом, в рамках предположения 1 вопрос об асимптотической устойчивости системы (2) свёлся к исследованию уравнения (3), что значительно упрощает задачу. С другой стороны, уравнение (3) является частным случаем уравнения

$$(4) \quad \dot{w}(t) + aw(t) + bw(t - 1) + cw(t - h) = 0$$

при $h = 1 + \omega/\tau$, $a = \tau(\alpha + \beta(y_2^* - x_2^*))$, $b = \tau p_1 \beta x_2^*$, $c = -\tau p_2 \beta y_2^*$. Для коэффициентов разных знаков и произвольного $h \in (1, \infty)$ область устойчивости уравнения (4) в пространстве параметров (a, b, c, h) неизвестна (и, по-видимому, очень сложна). Поэтому следует использовать несколько подходов к решению поставленной задачи.

3. ДОСТАТОЧНЫЕ УСЛОВИЯ АСИМПТОТИЧЕСКОЙ УСТОЙЧИВОСТИ НЕТРИВИАЛЬНОГО ПОЛОЖЕНИЯ РАВНОВЕСИЯ

Во всех последующих выкладках принято, что $\alpha = \gamma$ и $x_1^* > x_2^*$. Последнее неравенство равносильно неравенству $f\beta(1 - p_1)/\alpha^2 > 1$.

3.1. Используем подход, основанный на теории монотонных операторов, теоремах сравнения и принципе аргумента (см., например, [13], [14], [15, с. 64], [16]).

Теорема 1. *Уравнение (4) асимптотически устойчиво, если $a > |b| + |c|$.*

Выполняя промежуточные выкладки, приходим к неравенству

$$(5) \quad \frac{x_1^*}{x_2^*} = \frac{f\beta(1 - e^{-\alpha\tau})}{\alpha^2} > \frac{1 + e^{-\alpha\tau}}{1 - e^{-\alpha\tau}},$$

обеспечивающему асимптотическую устойчивость уравнения (3). Отметим, что (5) не содержит параметр σ и запаздывание ω . Неравенство (5) говорит, в частности, о том, что x_2^* должно быть достаточно малым по сравнению с x_1^* .

3.2. Применим результаты исследования устойчивости стационарных систем с произвольным запаздыванием [15, с. 119]. Обозначим через $\mathbf{1}\{\Omega\}$ индикатор события Ω . Уравнение (4) представим в виде

$$(6) \quad \dot{w}(t) = \int_0^\infty w(t - s) dK(s),$$

где $K(s) = -a \cdot \mathbf{1}\{s > 0\} - b \cdot \mathbf{1}\{s > 1\} - c \cdot \mathbf{1}\{s > h\}$.

Известно [15, с. 130], что для асимптотической устойчивости уравнения (6) достаточно выполнения неравенств

$$\int_0^\infty dK(s) < 0, \quad \int_0^\infty s |dK(s)| < 1.$$

Отсюда вытекает следующий признак устойчивости.

Теорема 2. *Уравнение (4) асимптотически устойчиво, если $a + b + c > 0$ и $|b| + |c|h < 1$.*

После преобразований получаем, что из неравенства

$$(7) \quad p_1 \beta x_2^* \tau + p_2 \beta y_2^* (\tau + \omega) < 1$$

вытекает асимптотическая устойчивость уравнения (3).

Неравенство (7) запишем в эквивалентной форме:

$$(8) \quad \frac{x_1^*}{x_2^*} = \frac{f\beta(1 - e^{-\alpha\tau})}{\alpha^2} < 1 + \left(1 - \frac{\alpha\tau}{e^{\alpha\tau} - 1}\right) \frac{e^{\alpha\tau + \sigma\omega} - 1}{\alpha(\tau + \omega)}.$$

Видно, что (8) будет выполнено при некоторых α , τ , σ , ω , таких, что x_2^* незначительно отличается от x_1^* . Кроме того, нетрудно заметить, что для любых фиксированных f , β , α , τ найдутся σ и ω , при которых неравенство (8) будет выполнено. Отметим, что выполнение неравенства $x_1^* > x_2^*$ не зависит от значений параметров σ , ω . Следовательно, если в модели (1) существует нетривиальное положение равновесия с положительными компонентами, то в силу неравенства (8) оно окажется асимптотически устойчивым при достаточно больших σ или ω .

Вместе с тем, значения параметров σ , ω , значительно превышающие соответственно α и τ , не вполне согласуются с медико-биологической интерпретацией модели. Пусть, в частности, средняя продолжительность жизни индивидуумов $1/\alpha$ составляет 60 лет, а средняя продолжительность заболевания $\tau = 30$ суток (0.082192 года). Тогда при $\sigma \approx \alpha$ функция

$$g(\omega) = \frac{e^{\alpha\tau + \sigma\omega} - 1}{\alpha(\tau + \omega)}$$

растет очень медленно при возрастании ω от 0 до 40–60 лет. В этом случае, множитель $g(\omega)$, входящий в правую часть неравенства (8), не оказывает заметного влияния, так как значения $g(\omega)$ несущественно превышают единицу.

Таким образом, актуальной является задача исследования устойчивости уравнения (3) при сопоставимых значениях τ и ω .

4. КРИТЕРИЙ УСТОЙЧИВОСТИ ЛИНЕЙНОГО ПРИБЛИЖЕНИЯ ПРИ ДВУКРАТНОМ ЗАПАЗДЫВАНИИ

Получить точную область устойчивости уравнения (4) удастся в случаях, когда запаздывание h – заданное число. В частности, это оказалось возможным, если выполнено

Предположение 2. *Периоды пребывания индивидуума в группах I и R равны между собой: $\tau = \omega$.*

Это означает, что в уравнении (4) $h = 2$, т.е. оно принимает вид

$$(9) \quad \dot{w}(t) + aw(t) + bw(t-1) + cw(t-2) = 0,$$

а его асимптотическая устойчивость, как известно, эквивалентна тому, что все корни *характеристической функции*

$$\Phi(z) = z + a + be^{-z} + ce^{-2z}$$

лежат слева от мнимой оси [17, с. 209].

Домножение на e^z не меняет нули характеристической функции, поэтому вместо Φ удобно рассмотреть функцию

$$(10) \quad F(z) = e^z \Phi(z) = \chi \operatorname{ch} z + \zeta \operatorname{sh} z + b + ze^z,$$

где $\chi = a + c$ и $\zeta = a - c$.

Вопрос об устойчивости уравнения (9) в терминах коэффициентов функции F подробно изучался в работах [18] и [19]. Оказалось, что структура области устойчивости достаточно сложна: её граница состоит из счётного множества криволинейных поверхностей. Тем не менее, область устойчивости удалось построить, используя тот факт, что границы ее сечения плоскостями $\zeta = const$ в координатах (χ, b) оказываются многозвенными ломаными.

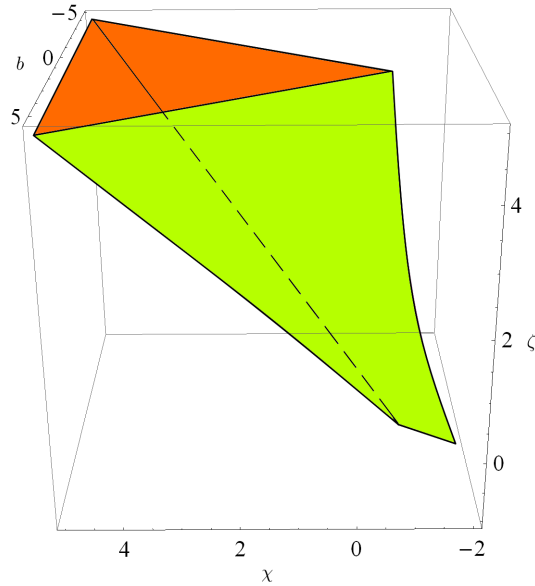


Рис. 1. Область устойчивости уравнения (9).

С точки зрения исследования устойчивости рассматриваемой модели, нас будет интересовать только часть этой области. Напомним, что коэффициент c имеет вид $c = -\tau\rho_2\beta y_2^*$, где y_2^* – положительная компонента точки равновесия, а параметры τ , ρ_2 , β положительны по физическому смыслу задачи. Следовательно, $c < 0$, что, с учетом определения χ и ζ , эквивалентно неравенству $\chi < \zeta$. Это ограничение выделяет бесконечный, но сравнительно просто устроенный участок области устойчивости. А именно, из теоремы 1 работы [18] вытекает следующее утверждение.

Теорема 3. Пусть $\chi < \zeta$. Для того чтобы все корни функции (10) лежали слева от мнимой оси, необходимо и достаточно выполнения неравенств:

- $\zeta > -1$;
- $\chi + b > 0$;
- $b < \varphi \sin \varphi - \chi \cos \varphi$, где φ – единственный корень уравнения $\zeta = -\varphi \operatorname{ctg} \varphi$ из интервала $(0, \pi)$.

На рис. 1 приведена область устойчивости уравнения (9) в координатах (χ, b, ζ) . Описать ее структуру проще всего по сечениям при $\zeta = const$. Каждому $\zeta > -1$ соответствует единственный корень уравнения $\zeta = -\varphi \operatorname{ctg} \varphi$ из

интервала $(0, \pi)$. Обозначим этот корень φ_ζ . Согласно теореме 3, область устойчивости уравнения (9) является внутренностью треугольника ABC , стороны которого задаются прямыми $\chi = -b$, $\chi = \zeta$, $b = \varphi_\zeta \sin \varphi_\zeta - \chi \cos \varphi_\zeta$, а координаты вершин легко находятся: $A\left(\frac{\varphi_\zeta \sin \varphi_\zeta}{\cos \varphi_\zeta - 1}, -\frac{\varphi_\zeta \sin \varphi_\zeta}{\cos \varphi_\zeta - 1}\right)$; $B(\zeta, \varphi_\zeta \sin \varphi_\zeta - \zeta \cos \varphi_\zeta)$; $C(\zeta, -\zeta)$.

При $\zeta \in (-1, 0)$ треугольник ABC тупоугольный, при $\zeta = 0$ — прямоугольный, а при $\zeta > 0$ — остроугольный. На рисунках 2–5 стороны этого треугольника отмечены синим цветом.

Дадим описание предельного поведения области устойчивости. Если $\zeta \rightarrow -1$, то $\varphi_\zeta \rightarrow 0$, следовательно, вершина A стремится к точке $(-2, 2)$, вершины B и C сближаются и стремятся к точке $(-1, 1)$. Таким образом, треугольник вырождается в отрезок с концами в точках $(-1, 1)$ и $(-2, 2)$. Если же $\zeta \rightarrow \infty$, то $\varphi \rightarrow \pi$, треугольник устойчивости становится все ближе к равнобедренному треугольнику с вершинами в точках $A(0, 0)$, $B(\zeta, \zeta)$, $C(\zeta, -\zeta)$.

Сравним критерий устойчивости с достаточными признаками устойчивости. Неравенство теоремы 1 в терминах коэффициентов функции (10) при условии $\zeta > \chi$ принимает вид: $\zeta > 0$ и $|b| < \chi$. Таким образом, этот признак описывает в сечении $\zeta = \text{const} > 0$ внутренность треугольника, стороны которого на рисунках 4, 5 отмечены зелёным цветом, на рисунках 2, 3 этот треугольник отсутствует.

Неравенства теоремы 2 принимают вид $\chi + b > 0$, $|b| - \chi < 1 - \zeta$, то есть этот признак описывает в сечении $\zeta = \text{const}$ внутренность треугольника, стороны которого на рисунках 2–5 отмечены красным цветом.

Сравнение показывает, что теоремы 1, 2 позволяют построить лишь часть области устойчивости, причём значительные её участки не «покрываются» ни одним из двух достаточных признаков.

На тех же рисунках легко проследить отличия достаточных признаков: при $\zeta \in (-1, 0]$ теорема 2 работает, теорема 1 нет; при $\zeta \in (0, 1)$ работают обе теоремы, но теорема 2 дает большую область устойчивости; при $\zeta = 1$ области устойчивости совпадают; при $\zeta > 1$ большую область устойчивости дает теорема 1, более того, с увеличением ζ эта область все меньше отличается от треугольника ABC .

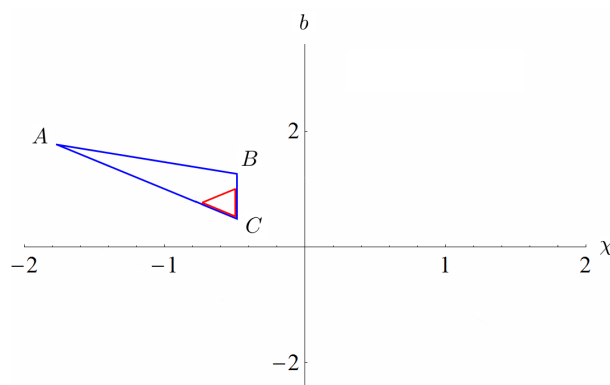
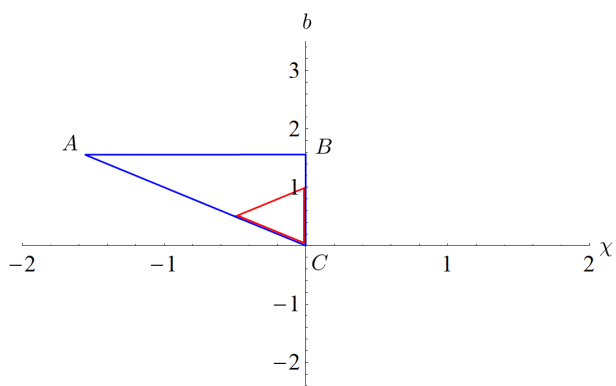
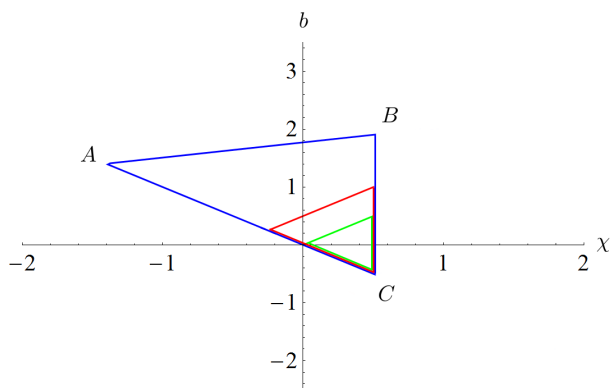
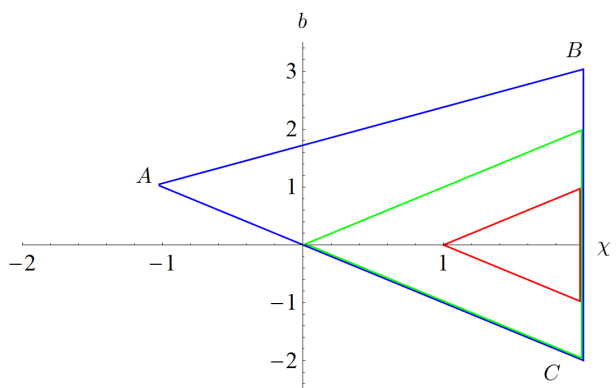


Рис. 2. Признаки устойчивости уравнения (9) в плоскости $\zeta = -0.5$.

Рис. 3. Признаки устойчивости уравнения (9) в плоскости $\zeta = 0$.Рис. 4. Признаки устойчивости уравнения (9) в плоскости $\zeta = 0.5$.Рис. 5. Признаки устойчивости уравнения (9) в плоскости $\zeta = 2$.

Вернувшись к исходным обозначениям и учитывая, что неравенство $a + b + c = \gamma(1 + x_1^*/x_2^*) > 0$ выполняется тождественно, сформулируем следующее утверждение.

Следствие 1. Пусть $x_1^* > x_2^*$, $\alpha = \gamma$, $\tau = \omega$. Для того чтобы система (2) была асимптотически устойчивой, необходимо и достаточно выполнения двух следующих неравенств:

- $f > \frac{\gamma}{\beta(1+p_2)} \left(\frac{\gamma}{1-p_1} + \frac{2\gamma p_2}{1-p_2} - \frac{1}{\tau} \right)$;
- $\frac{\gamma p_1 \tau}{1-p_1} < \varphi \sin \varphi - \left(\frac{f\beta(1-p_2)}{\gamma} - \frac{\gamma}{1-p_1} \right) \tau \cos \varphi$, где φ — единственный корень уравнения

$$\frac{f\beta(1+p_2)}{\gamma} - \frac{\gamma}{1-p_1} - \frac{2\gamma p_2}{1-p_2} = \frac{\varphi \operatorname{ctg} \varphi}{\tau}$$

из интервала $(0, \pi)$.

5. ЗАКЛЮЧЕНИЕ

Приведенные в работе результаты демонстрируют возможности различных подходов к задаче об устойчивости нетривиального положения равновесия дифференциально-разностной системы, моделирующей эпидемический процесс. Показано, что некоторые дополнительные предположения о параметрах системы позволяют упростить ее и дать конструктивные условия асимптотической устойчивости решения.

Предположение 1 имеет место в случае, если инфекция не приводит к гибели индивидумов (по крайней мере на стадии болезни), либо в случае, когда заболевание переведено в разряд нелетальных вследствие вакцинации или лечения. В этом случае линейризованную исходную систему удастся свести к одному уравнению (4), что существенно упрощает исследование. В разделе 3 приведены эффективные и легко проверяемые достаточные признаки устойчивости уравнения (4).

В разделе 4 на примере уравнения (4), в котором $h = 2$ (принято предположение 2 о равенстве периодов τ и ω), исследование доведено до построения точной области устойчивости. Используя методы, разработанные в [19], аналогичное построение можно осуществить для случаев $h \leq 5$.

Для больших h аналитическое описание точной области устойчивости вряд ли осуществимо из-за серьезных технических сложностей. Численно исследование можно проводить с привлечением специализированных пакетов программ, например, пакета DDE-BIFTOOL [20] для бифуркационного анализа или пакетов R, Matlab, содержащих программы решения задачи Коши для дифференциальных уравнений с запаздыванием.

REFERENCES

- [1] G. Huang, Y. Takeuchi, *Global analysis on delay epidemiological dynamic models with nonlinear incidence*, J. Math. Biol. **63**:1 (2011), 125–139. MR2806492
- [2] Y. Muroya, T. Kuniya, J. Wang, *Stability analysis of a delayed multi-group SIS epidemic model with nonlinear incidence rates and patch structure*, J. Math. Anal. Appl. **425**:1 (2015), 415–439. MR3299671
- [3] D. Okuonghae, *A note on some qualitative properties of a tuberculosis differential equation model with a time delay*, Differ. Equ. Dyn. Syst. **23**:2 (2015), 181–194. MR3323694
- [4] M. A. Skvortsova, *Asymptotic properties of solutions to a system describing the spread of avian influenza*, Siberian Electronic Mathematical Reports, **13** (2016), 782–798. MR3553170
- [5] L. M. Taylor, T. W. Carr, *An SIR epidemic model with partial temporary immunity modeled with delay*, J. Math. Biol. **59**:6 (2009), 841–880. MR2538471

- [6] L. Wang, R. Xu, G. Feng, *Modelling and analysis of an eco-epidemiological model with time delay and stage structure*, J. Appl. Math. Comput. **50**:1–2 (2016), 175–197. MR3440313
- [7] Y. Xiao, L. Chen, *An SIS epidemic model with stage structure and a delay*, Acta Mathematicae Applicatae Sinica, English Series, **18**:4 (2002), 607–618. MR2012324
- [8] Y. Yuan, J. Belair, *Threshold dynamics in an SEIRS model with latency and temporary immunity*, J. Math. Biol. **69**:4 (2014), 875–904. MR3259507
- [9] N. V. Pertsev, B. Yu. Pichugin, A. N. Pichugina, *Investigation of an asymptotic behavior of solutions of some epidemic processes models*, Mathematical Biology and Bioinformatics, **8**:1 (2013), 21–48.
- [10] N. V. Azbelev, V. P. Maksimov, L. F. Rakhmatullina, *Introduction to the Theory of Functional Differential Equations*, Moscow: Nauka, 1991. (Translated in English: N. V. Azbelev, V. P. Maksimov, L. F. Rakhmatullina, *Introduction to the Theory of Linear Functional Differential Equations*, World Federation Publishers Company, Atlanta, 1995.) MR1144998
- [11] N. V. Azbelev, P. M. Simonov, *Stability of Equations with Ordinary Derivations*, Perm: Perm State University, 2001. (Translated in English: N. V. Azbelev, P. M. Simonov, *Stability of Differential Equations with Aftereffect*, Taylor&Francis, London, 2002.)
- [12] A. A. Andronov, A. G. Mayer, *The simplest linear systems with delay* // Automation and Remote Control, **7**:2–3 (1946), 95–106. MR0020199
- [13] A. Yu. Obolenskiy, *On stability of solutions of Vazewski autonomous systems with delay*, Ukrainian Mathematical Journal, **35** (1983), 574–579. MR0723116
- [14] R. Volz, *Stability Conditions for Systems of Linear Nonautonomous Delay Differential Equations*, J. Math. Anal. Appl., **120**:2 (1986), 584–595. MR0864776
- [15] V. B. Kolmanovskiy, V. R. Nosov, *Stability and periodic modes of a controlled systems with aftereffect*, Moscow: Nauka, 1981. MR0641554
- [16] T. L. Sabatulina, V. V. Malygina, *On stability of a differential equation with bounded aftereffect*, Izvestiya Vysshikh Uchebnykh Zavedenii. Matematika, **4** (2014), 25–41. MR3275907
- [17] R. Bellman, K. L. Cooke, *Differential-Difference Equations*, Moscow: Mir, 1967. MR0221045
- [18] M. V. Mulyukov, *Stability of a linear differential equation with double delay*, Proceedings of VIII International Conference “Modern Problems of Applied Mathematics, Control Theory and Computer Science (AMCTCS-2018)”, Voronezh, Russia, 2015, 258–260.
- [19] M. V. Mulyukov, *The structure of D-decomposition regions for two-parameter characteristic equations of systems with delay*, Functional Differential Equations: Theory and Applications, Perm National Research Polytechnic University, Perm, 2018, 180–200.
- [20] T. Luzyanina, J. Sieber, K. Engelborghs, G. Samaey, D. Roose, *Numerical bifurcation analysis of mathematical models with time delays with the package DDE-BIFTOOL*, Mathematical Biology and Bioinformatics, **12**:2 (2017), 496–520.

MALYGINA VERA VLADIMIROVNA
 PERM NATIONAL RESEARCH POLYTECHNIC UNIVERSITY,
 KOMSOMOLSKIY PR., 29,
 614990, PERM, RUSSIA
E-mail address: mavera@list.ru

MULYUKOV MIKHAIL VADIMOVICH
 PERM NATIONAL RESEARCH POLYTECHNIC UNIVERSITY,
 KOMSOMOLSKIY PR., 29,
 614990, PERM, RUSSIA
E-mail address: Mulykoff@gmail.com

PERTSEV NIKOLAI VICTOROVICH
 SOBOLEV INSTITUTE OF MATHEMATICS SB RAS, OMSK DIVISION,
 PEVTSOVA STREET 13,
 644033, OMSK, RUSSIA
E-mail address: homlab@ya.com